

# $^{12}\text{C}$ 基态和低激发态微观结构的对称性分析\*

解文方

(广东工业大学 广州 510090) (中山大学物理系 广州 510275)

1994-08-08 收稿

鲍诚光

## 摘要

通过  $3\alpha$  集团模型, 对  $^{12}\text{C}$  的基态和低激发态的微观结构进行对称性分析, 得到一些令人感兴趣的结果。

**关键词** 微观结构, 对称性,  $\alpha$  集团模型。

一个由两个质子和两个中子组成的集团, 称为  $\alpha$  集团。由于  $\alpha$  集团本身结合得很紧, 所以  $^{12}\text{C}$  的基态和低激发态可以看作是无集团内部激发的  $3\alpha$  集团结构, 这种描述直至激发能大约是 15MeV (这里  $^{12}\text{C}$  出现第一个  $T = 1$  的态) 都是近似正确的<sup>[1]</sup>。 $^{12}\text{C}$  的  $T = 0$  实验能谱如图 1 所示。

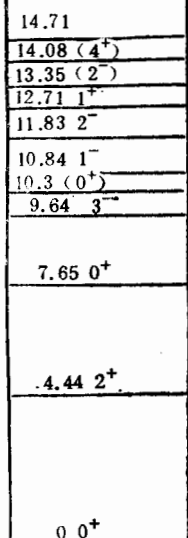


图 1  $^{12}\text{C}$  的  $T = 0$  实验能谱<sup>[1]</sup>

本文将把  $^{12}\text{C}$  的低能态看成一个  $3\alpha$  集团结构, 采用量子力学对称性分析, 定性地得出  $^{12}\text{C}$  的基态和低激发态微观结

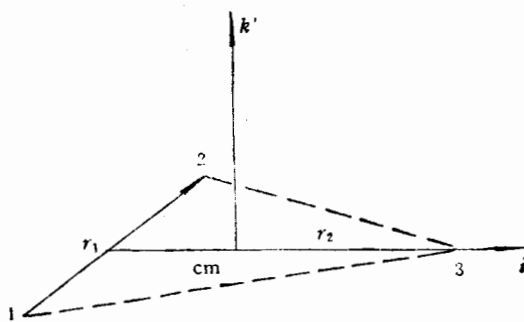


图 2 Jacobi 坐标和体轴

\* 国家自然科学基金资助项目和国家教委博士点基金资助。

$$\phi_{LM} = \sum_{l_1 l_2} f_{l_1 l_2}(r_1 r_2) [Y_{l_1}(\theta_1) Y_{l_2}(\theta_2)]_{LM}, \quad (1)$$

其中  $r_1$  和  $r_2$  为 Jacobi 坐标, 让我们引入体轴  $i' - j' - k'$ , 其中  $k'$  与三粒子平面  $\sigma$  垂直(如图 2 所示). 则波函数可重新表示为

$$\phi_{LM} = \sum_{\varrho=-L}^L D_{QM}^L(-R) \phi_\varrho, \quad (2)$$

$$\phi_\varrho = \sum_{l_1 l_2} f_{l_1 l_2}(r_1 r_2) [Y_{l_1}(\theta'_1) Y_{l_2}(\theta'_2)]_{L\varrho}. \quad (3)$$

其中  $R$  表示从固定坐标系到体轴的欧拉转动.  $\theta'_1$  与  $\theta'_2$  表示相对于体轴的角坐标.

注意到:

(1)  $\sigma$  面围绕  $k'$  旋转  $180^\circ$  与空间反演等价, 所以体系波函数的  $\phi_\varrho$  组分必须满足

$$\pi(-1)^\varrho = 1, \quad (4)$$

其中  $\pi = (-1)^{l_1 + l_2}$  为宇称, 否则  $\phi_\varrho$  将不允许存在.

(2) 如果三粒子构成一个以粒子 3 为顶点的等腰三角形(IST), 则围绕  $i'$  旋转  $180^\circ$  相当于粒子 1 和 2 的交换. 由于

$$e^{-i\pi L_\varrho} \phi_\varrho = (-1)^L \phi_\varrho = \pi(-1)^\varrho \phi_\varrho^*, \quad (5)$$

由于允许存在的组分恒有  $\pi(-1)^\varrho = 1$ , 又由于  $\phi_{LM}$  应对粒子置换全对称, 因而

$$\phi_\varrho(1ST) = \phi_\varrho^*(1ST). \quad (6)$$

该式表明  $\phi_\varrho$  的虚部 ( $\text{Im}\phi_\varrho$ ) 在 IST 处为零, 即 IST 组态是  $\text{Im}\phi_\varrho$  的节线.

(3) 若三粒子构成等边三角形 (ET), 则体系绕  $k'$  转  $120^\circ$  相当于粒子轮换. 因而

$$(1 - e^{\frac{1+2\pi}{3}\varrho}) \phi_\varrho(\text{ET}) = 0. \quad (7)$$

(7) 式表明当  $Q \neq 3k$  时 ( $k$  为整数),  $\phi_\varrho(\text{ET}) = 0$ ; 即若  $Q = 1, 2, 4, 5, \dots$ , 则 ET 组态是  $\phi_\varrho$  的节线.

除此之外, 当  $Q = 0$  时, 还有

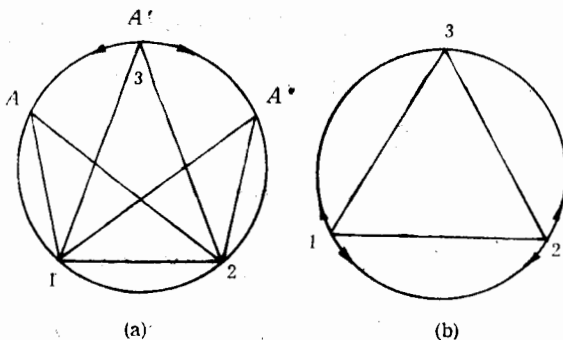
$$\phi_0 = \pi(-1)^L \phi_0^* \quad (8)$$

由(4)、(6)、(7)、(8)式可预期  $^{12}\text{C}$  较低态的主要特点.

例如对于  $1^+$  态, 其  $Q = 1$  组分完全被(4)式禁戒; 其  $Q = 0$  组分的实部(即  $\text{Re}\phi_0$ ) 被(8)式禁戒, 其虚部(即  $\text{Im}\phi_0$ ) 则受到(6)式的制约, 在 IST 组态出现节线. 节线的出现意味着激烈的内部运动, 特定的节线则与特定的运动模式相对应<sup>[2,3]</sup>; 而出现在 IST 组态的节线对应于处于 IST 顶端的粒子围绕 IST 作为平衡形态左右摇摆的模式, 简称为  $S$  模式(如图 3(a) 所示). 相应的节点称为  $S$  节点. 再看  $1^-$  态,  $Q = 0$  成分完全被(4)式禁戒. 其  $Q = 1$  成分的虚部受到(6)式的制约而出现  $S$  节点, 其实部虽无  $S$  节点, 但又因受制于(7)式, 而在 ET 组态上出现节线. 该节线对应于一种围绕 ET 的振动<sup>[2]</sup>, 称为  $\eta$  模式(如图 3(b) 所示), 相应的节点称为  $\eta$  节点.

对于  $\phi_0$  组分,  $S$  模式是一种能量很高的模式, 这是因为当粒子“3”相对于粒子“1”“2”运动时, 在  $A, A', A''$  等处(见图 3(a)) 均出现等腰形, 这些等腰形均导致  $\phi_0$  组分出现节点. 这些密集的节点导致激烈的运动, 所以能量比较高.

我们把  $^{12}\text{C}$  的基态和低激发态在  $3\alpha$  集团模型假定下, 均在体轴上进行分析. 对各  $\phi_\varrho$

图3 两种内部振动模式:  $S$  模式(a)与 $\eta$ 模式(b)表1 波函数  $Q$  组分的固有节线

$L^{\pi}$	$\psi_0^R$	$\psi_0^I$	$\psi_1^R$	$\psi_1^I$	$\psi_2^R$	$\psi_2^I$	$\psi_3^R$	$\psi_3^I$	$\psi_4^R$	$\psi_4^I$
$0^+$										
$1^+$			$S$							
$1^-$				$\eta$	$S$					
$2^+$						$\eta$	$S$			
$2^-$				$\eta$	$S$					
$3^-$				$\eta$	$S$			$S$		
$4^+$					$\eta$	$S$			$\eta$	$S$

组分的分析结果列在表1。其中  $\psi_0^R$  表示  $\text{Re}\psi_0$ ,  $\psi_0^I$  表示  $\text{Im}\psi_0$ 。空格表示该组分不含内禀节线(即根源于量子力学对称性的节线)。 $\eta$  和  $S$  分别表示含  $\eta$  或  $S$  节点(线)。黑格表示该组分被完全禁戒。对于各首态(即给定  $L^{\pi}$  的最低态),有以下结论:

(1) 对于正字称态,由于  $0^+、2^+、4^+$  的  $\text{Re}\psi_0$  均不含内禀节线,预期这些态将以  $\text{Re}\psi_0$  为主。这样,波函数得以围绕最有利构形(即边长为最优化的正三角形)缓和地(即无节线)进行分布,以便位能较低且动能较小。因此这些态必定内能较低,且结构十分相近;于是它们构成一个转动带,其间能量的差异主要来自集体转动。若定义转动动能  $T_L = AL(L+1)$ ,其中  $A$  由  $2^+$  的实验激发能  $4.44\text{MeV}$  来定,得  $A = 0.74\text{MeV}$ 。由此算得  $4^+$  的  $T_L$  为  $14.8\text{MeV}$ ,这与实验激发能  $14.08\text{MeV}$  相近。

(2) 对于负字称态  $1^-、2^-、3^-$ ,其中只有  $3^-$  态含无节线组分( $\text{Re}\psi_3$ ),因而  $3^-$  有可能比  $1^-、2^-$  为低,而介于  $2^+$  与  $4^+$  之间。若以  $1^-$  和  $2^-$  相比,它们的内部结构都是  $\text{Re}\psi_1$  和  $\text{Im}\psi_1$  的组合,因而可能相近。但由于前者的  $T_L$  较小,故  $1^-$  应低于  $2^-$ ,这样,负字称态的顺序应为  $3^-, 1^-, 2^-$ ,这与实验观测一致。

(3) 当  $A = 0.74\text{MeV}$  时,  $3^-$  态的集体转动动能为  $T_L = 8.88\text{MeV}$ ,这与实验的  $3^-$  激发能  $9.64\text{MeV}$  较接近。

(4)  $1^+$  态只含  $\text{Im}\psi_0$  组分。与  $1^-$  态相比,后者的每一组分均只含一根节线,而由于

前述原因，在  $\text{Im}\phi_0$  中出现三根节线，因而  $1^+$  态的能量应显著高于  $1^-$  态，这也和实验一致。

(5) 根据三体模型的计算<sup>[4]</sup>， $0_2^+$ 、 $0_3^+$  态都是只含有一根节线的(前者在折叶运动模式中含节线，后者在呼吸运动模式中含节线)。 $1^-$  态的允许组分也都是含一根节线的。但由于  $1^-$  态中含集体转动能，因而  $1^-$  态有可能高于  $0_2^+$ 、 $0_3^+$  态。实验上  $1^-$  态的激发能为  $10.84\text{MeV}$ ，而  $0_3^+$  态为  $10.3\text{MeV}$ ，因此符合这种分析。

当然，微观束缚态结合的强弱，直接取决于相互作用的强弱。但在相互作用给定的情况下，能级的相对位置(更确切地说，各能态结构的特征)显然受制约于量子力学对称性。以上表明了  $3\alpha$  集团模型有合理的一面。但若  $^{12}\text{C}$  真的由  $3\alpha$  集团构成，那么应该具有一个比  $4^+$  要低的  $4^-$  态。这是因为从对称性分析， $4^-$  态含无节线组分  $\text{Re}\phi_3$ 。另一方面， $4^+$  态含无节线组分  $\text{Re}\phi_0$ 。由于前一组分的  $Q$  较大，将给出较大的转动惯量，相应地给出较小的  $T_L$ ；因而预期  $4^-$  应略低于  $4^+$ 。但这样低的  $4^-$  态实验上至今尚未发现。若发现了这个态，将有力支持  $3\alpha$  集团模型；否则， $3\alpha$  集团将蒙上阴影。

### 参 考 文 献

- [1] K. 怀尔德默德, 唐尧千, 原子核的统一理论. 原子能研究所原子核理论组译, 第1版. 北京: 原子能出版社. 1983.17.
- [2] W. Y. Ruan, C. G. Bao, *Few-Body Systems*, 14(1993)25.
- [3] C. G. Bao, W. Y. Ruan, *Few-Body Systems*, 15(1993)25.
- [4] C. G. Bao et al., *Few-Body Systems*, 2(1987)81.

## Analysis of Symmetry on the Ground and Low-Excited States of $^{12}\text{C}$

Xie Wenfang Bao Chengguang

(Department of Physics, Zhongshan University, Guangzhou 510275)

Received 8 August 1994

### Abstract

The microscopic structures of the ground and low-excited states of  $^{12}\text{C}$  are investigated via an analysis of symmetry based on the three  $\alpha$ -cluster model. Some interested results are obtained.

**Key words**    microscopic structure, symmetry,  $\alpha$ -cluster model.